

円形トンネル覆工に作用する圧力の弾性論的考察

神戸大学工学部 正員 桜井春輔
神戸大学大学院 学生員・○吉村佳映

1. はしがき

弾性地山内のトンネル覆工に作用する圧力分布は、板にリングをはめこんだ問題として従来解析されてきた。しかし、弾性地山であれば、変位はトンネル掘削の瞬間に終了し、その後、覆工を施してもそこには圧力は作用しないことになる。したがって、覆工に作用する圧力は地山を粘弾性体と考えることによってはじめて可能となる。しかし、覆工の設計においては、その圧力の経時的变化よりも、その最大値すなわち終局値が必要であり、厳密な粘弾性解析を行なう必要はない。このような観点から、ここでは、圧力の終局値を弾性論的に解析することを提案する。

2. 基礎方程式の誘導

2. 1 トンネル周辺の地山及び覆工の変位

図-1に示すように、弾性地山に σ なる応力が作用した場合の、 $r=b$ における変位 U_r^1 、 U_θ^1 は、複素応力関数を次のようにおくことにより求められる。

$$\begin{aligned}\varphi(z) &= A z \\ \psi(z) &= B z^2 \quad \text{但し } A = -(p+q)/4 \quad B = (p-q)/4\end{aligned}\quad (1)$$

又、図-2に示すように、円形トンネルを掘削して、 p 、 q を作用させた時の $r=b$ における変位 U_r^2 、 U_θ^2 は、複素応力関数を次のようにおくことにより決定できる。

$$\begin{aligned}\varphi(z) &= M \log z + A z + \sum_{n=1}^{\infty} A_n z^n \\ \psi(z) &= N z \log z + K \log z + B z^2 + \sum_{n=1}^{\infty} B_n z^n\end{aligned}\quad (2)$$

したがって、 p 、 q なる初期応力が作用している地山に、円形トンネルを掘削したために生ずる変位 U_r^3 、 U_θ^3 は、次のように表わされる。

$$U_r^3 = U_r^2 - U_r^1 \quad U_\theta^3 = U_\theta^2 - U_\theta^1 \quad (3)$$

次に、図-3に示すように、覆工の $r=b$ における変位 U_r^4 、 U_θ^4 は、複素応力関数を

$$\begin{aligned}\varphi(z) &= M \log z + \sum_{n=-\infty}^{\infty} A_n z^n \\ \psi(z) &= N z \log z + K \log z + \sum_{n=-\infty}^{\infty} B_n z^n\end{aligned}\quad (4)$$

とおくことにより決定される。更に、図-4に示すように、覆工の地山におよぼす圧力による変位 U_r^5 、 U_θ^5 は、複素応力関数を

$$\begin{aligned}\varphi(z) &= M \log z + \sum_{n=1}^{\infty} A_n z^n \\ \psi(z) &= N z \log z + K \log z + \sum_{n=1}^{\infty} B_n z^n\end{aligned}\quad (5)$$

とおくことにより決定される。

2. 2 地山と覆工の変位の適合条件

$r=b$ における地山と覆工の変位の適合条件は、つきのように表わされる。

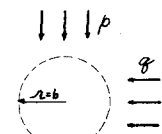


図-1

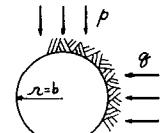


図-2

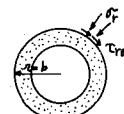


図-3

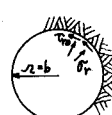


図-4

$$U_r^t = U_r^3 - U_r^5 \quad U_\theta^t = U_\theta^3 - U_\theta^5 \quad (6)$$

3. 粘弾性論的考察

トンネル掘削の瞬間に弾性変位は終了し、その後地山は粘弾性的に変位すると考える。いま、地山のクリープ関数 $\psi(t)$ を $\psi(t) = \frac{1}{G} + \frac{1}{G^*}(1 - e^{-t/\tau})$ とすれば、トンネル掘削後、 t_0 時間後の地山の変位の計算においてクリープ関数は $\psi^*(t) = \frac{e^{-t_0/\tau}}{G^*}(1 - e^{-t/\tau})$ とすればよい。しかし、覆工から地山におよぼす圧力による地山の変位の計算においては、 $\psi(t)$ を用いなければならない。一方、覆工はせん断弾性係数 G_e の弾性体とする。粘弾性解析の結果によれば、覆工に作用する圧力が $\sigma_r(\varphi, t) = D(\varphi)Q(t)$ のように変数分離可能な場合には、圧力の終局値は、 U_r^3, U_θ^3 の計算においてせん断弾性係数を $G^*/e^{-t_0/\tau}$ 、 U_r^t, U_θ^t の計算において $G_e/(G+G^*)$ 、 U_r^t, U_θ^t において G_e とした場合の弾性解と一致することが確かめられる。

4. 計算例

計算例として図-5に示す円形トンネルを考え、覆工のせん断弾性係数を G_e とし、 $G^*/e^{-t_0/\tau} = GG^*/(G+G^*)$ の場合とする。

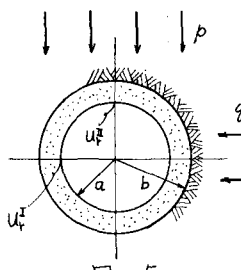


図-5

せん断力を無視しない場合

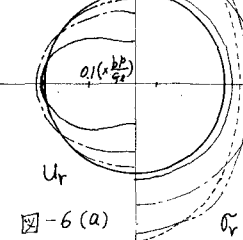


図-6(a)

せん断力を無視する場合

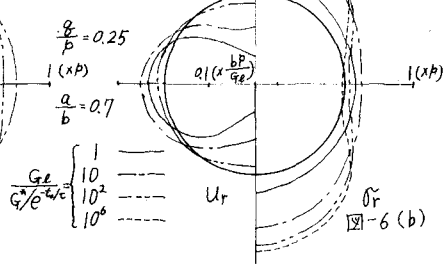


図-6(b)

せん断力を無視しない場合

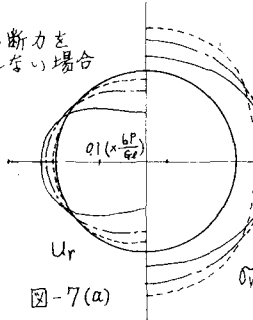


図-7(a)

せん断力を無視する場合

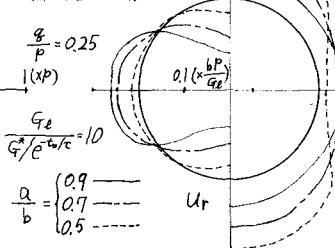


図-7(b)

せん断力を無視しない場合

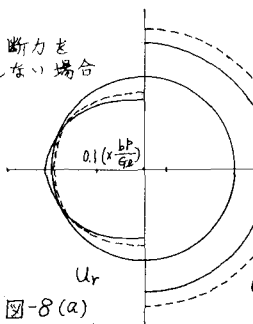


図-8(a)

せん断力を無視する場合

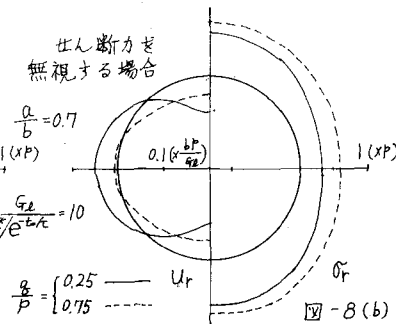


図-8(b)

$$(U_r^t/U_r^3)$$

$$\frac{G_e}{G^*/e^{-t_0/\tau}} = 10$$

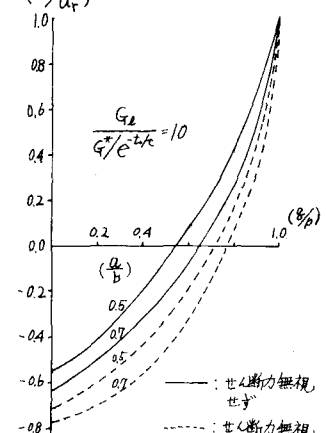


図-9

参考文献。

森口繁一：2次元弾性論（1958）岩波書店